

УДК 541.64:547.315

ВЛИЯНИЕ УСЛОВИЙ СИНТЕЗА НА МИКРОГЕТЕРОГЕННОСТЬ СОПОЛИМЕРА БУТАДИЕНА С ИЗОПРЕНОМ¹

© 2011 г. В. З. Мингалеев*, П. А. Тайбулатов*, В. П. Захаров**, Ю. Б. Монаков

* Учреждение Российской академии наук

Институт органической химии Уфимского научного центра РАН

450054 Уфа, пр. Октября, 71

** Башкирский государственный университет

450074 Уфа, ул. Заки Валиди, 32

Поступила в редакцию 05.04.2010 г.

Принята в печать 22.11.2010 г.

Изучены закономерности изменения микрогетерогенности сополимеров бутадиена и изопрена, полученных в присутствии титановой каталитической системы при изменении гидродинамического режима в момент формирования реакционной смеси сополимеризации. При непосредственном вводе катализатора в раствор мономеров получают сополимеры со статистическим распределением звеньев независимо от состава исходной смеси мономера. В этом случае рост цепи подчиняется статистике Бернулли. Гидродинамические факторы в зависимости от состава начальной смеси мономеров способствуют отклонениям от статистического роста цепи сополимера в разной степени.

ВВЕДЕНИЕ

Микрогетерогенность сополимера, т.е. распределение мономерных звеньев в цепи, с одной стороны, влияет на физико-химические свойства синтезируемых продуктов, а с другой стороны, способствует пониманию составляющей механизма сополимеризации. Особенности микроструктуры сополимера зависят от реакционной способности исходных мономеров, природы активных центров, фазового состояния катализатора и т.д. [1].

Коллоидно-дисперсные катализаторы циглеровского типа содержат активные центры различного строения и, как следствие, отличающиеся по реакционной способности [2]. Это обуславливает потенциальную возможность влияния на характер распределения звеньев в цепи сополимера при изменении типового набора центров роста макромолекул. В то же время ввиду гетерогенности каталитической системы существует возмож-

ность воздействия на кинетическую активность различных типов центров сополимеризации вследствие турбулентности потоков [3].

В настоящей работе изучены закономерности чередования звеньев бутадиена и изопрена при сополимеризации на микрогетерогенной каталитической системе $TiCl_4-Al(i-C_4H_9)_3$ при гидродинамическом воздействии на реакционную смесь.

ЭКСПЕРИМЕНТАЛЬНАЯ ЧАСТЬ

Приготовление катализатора и проведение сополимеризации осуществляли в атмосфере аргона, в условиях, исключающих наличие следов влаги и примесей. Титановый каталитический комплекс готовили путем смешения растворов тетрахлорида титана и триизобутилалюминия в отдельном реакционном сосуде с последующей экспозицией катализатора при 0°C в течение 30 мин.

При одинаковых условиях проведения полимеризации (растворитель толуол, температура сополимеризации 25°C, концентрация катализатора $c_{Ti} = 10^{-2}$ моль/л, $Al : Ti = 1.4$, суммарная концентрация мономеров $c_M = 1.5$ моль/л) варьировали способ смешения катализатора и раствора мономеров.

Метод 1. Отдельно приготовленный титановый каталитический комплекс непосредственно

¹ Работа выполнена при финансовой поддержке Федеральной целевой программы "Научные и педагогические кадры инновационной России" госконтракт № 02.740.11.0648 и Программы № 7 РАН "Создание научных основ экологически безопасных и ресурсосберегающих химико-технологических процессов. Отработка процессов с получением опытных партий веществ и материалов".

E-mail: mingaleevvz@rambler.ru (Мингалеев Вадим Закирович).

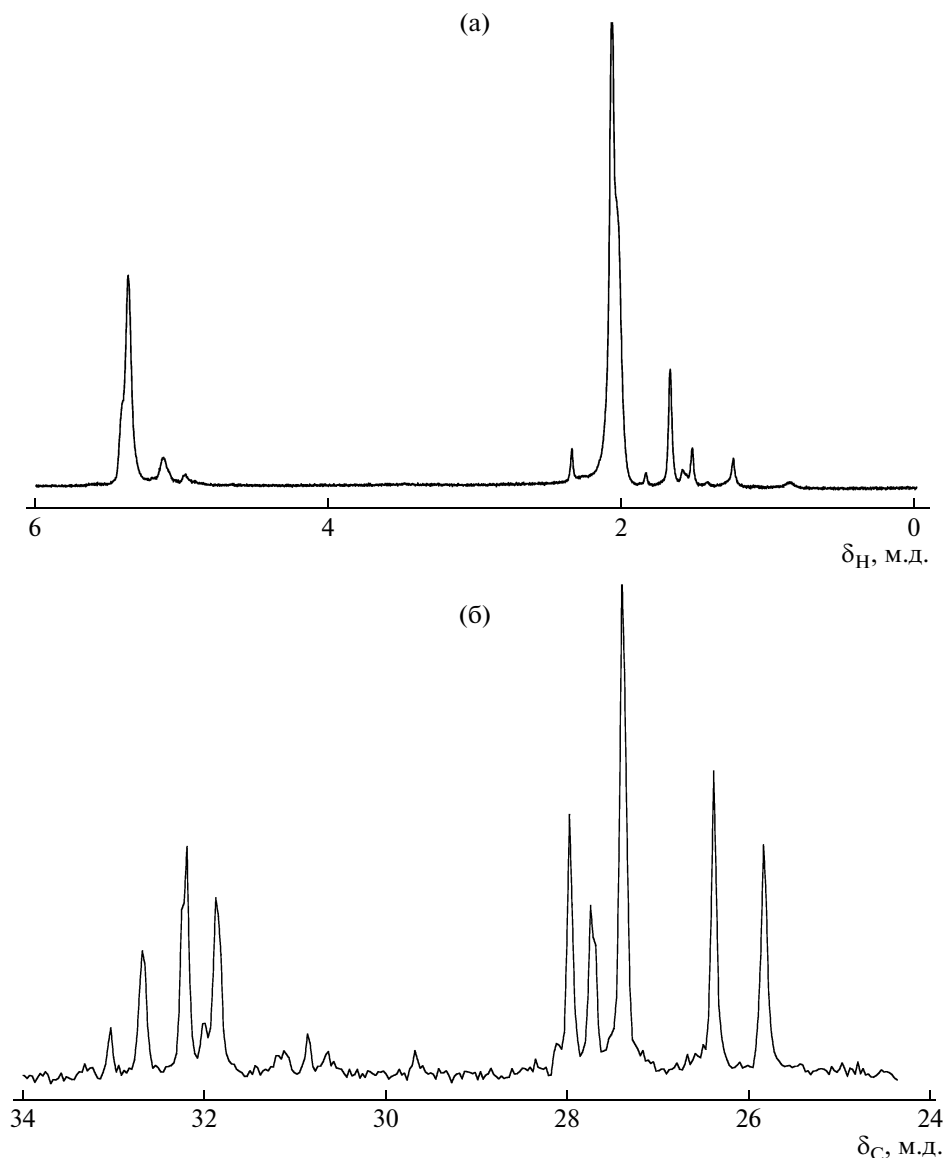


Рис. 1. Типичный протонный (а) и углеродный (б) спектры ЯМР сополимеров бутадиена с изопреном, полученные при мольном соотношении бутадиена и изопрена в исходной смеси мономеров 80 : 20 (а), 50 : 50 (б).

вводили в раствор мономеров, далее сополимеризация происходила при постоянном перемешивании.

Метод 2. Гидродинамическое воздействие заключалось в кратковременном (2–3 с) турбулентном смещении титанового каталитического комплекса с раствором мономеров в трубчатом турбулентном реакторе диффузор-конфузорной конструкции при скорости движения потока 0.8–1.0 м/с. После этого сополимеризацию проводили в условиях, аналогичных методу 1.

Выход сополимера определяли гравиметрически, а его состав – спектроскопией ЯМР ^1H и ЯМР ^{13}C . Спектры ЯМР сополимера бутадиена с изопреном регистрировали на приборе “Bruker

AM-300”, с рабочей частотой 75.47 МГц (растворитель дейтерохлороформ, внутренний стандарт тетраметилсилан). Время задержки между импульсами 6 мс, число накоплений 10^5 , температура регистрации спектра 40°C .

На рис. 1 приведены типичные спектры ЯМР ^1H и ЯМР ^{13}C сополимера бутадиена с изопреном для области, в которой находятся сигналы, используемые для расчетов согласно методике данной работы.

Состав сополимера, исходя из спектров ЯМР ^1H , рассчитывали по формуле [4]

$$Q_{\text{и}} = \frac{S_{1.6}}{S_{2.0} \times 0.75}, \quad (1)$$

где Q_{II} — содержание изопреновых звеньев в сополимере (в мольных долях); $S_{1,6}$ — площадь пика, отвечающего сигналам метильных протонов изопреновых звеньев; $S_{2,0}$ — площадь пика, соответствующего сигналам протонов групп CH_2 звеньев бутадиена и изопрена, а также групп CH звеньев изопрена (рис. 1а).

Углеродный ЯМР-спектр в отличие от протонного дает более полную информацию о структуре цепей сополимера. В соответствии с работами [5, 6] в алифатической области спектра (рис. 1б) соотнесены сигналы атомов углерода, которые отвечают диадным и триадным последовательностям (таблица). Нормированная площадь сигнала определенной диады (триады) адекватна ее доле. Анализ спектров ЯМР ^{13}C по положению резонирующих атомов углерода в диадных и триадных сочетаниях звеньев бутадиена и изопрена [6] показал, что доля диады ББ определяется площадью сигнала S_5 , содержание диады ИИ характеризуется суммой площадей сигналов S_1 и S_6 . Для вычисления содержания гетеродиад бутадиена и изопрена целесообразно воспользоваться равенством [7], которое в общем случае имеет вид

$$P(U_k) = P(U_k M_1) + P(U_k M_2) = P(M_1 U_k) + P(M_2 U_k) \quad (2)$$

Здесь M_1 и M_2 — мономерные звенья двух типов, U_k — последовательность, содержащая k звеньев.

Из выражения (2) и таблицы следует, что общее содержание гетеродиад бутадиена и изопрена определяется суммой сигналов S_2, S_3, S_4 и S_7 . В результате можно получить следующие соотношения:

$$P_{ББ} = S_5 \\ P_{ИИ} = S_1 + S_6 \quad (3)$$

$$P_{(ИИ+БИ)} = S_2 + S_3 + S_4 + S_7,$$

где $P_{ББ}$, $P_{ИИ}$, $P_{(ИИ+БИ)}$ — доля гомодиад бутадиена, изопрена и их гетеродиад соответственно.

Если в уравнении (2) принять, что $k = 1$, то, используя сигналы S_1 – S_7 , можно вычислить состав сополимера:

$$\frac{Q_{Б}}{Q_{И}} = \frac{S_4 + S_5 + S_7}{S_1 + S_2 + S_3 + S_6} \quad (4)$$

В отличие от частного характера формулы (4), справедливой только для сополимеров бутадиена с изопреном, состав сополимеров можно рассчитать по более общим формулам, приведенным в работе [8]:

$$Q_{Б} = P_{ББ} + \frac{P_{БИ}}{2}, \quad Q_{И} = P_{ИИ} + \frac{P_{БИ}}{2} \quad (5)$$

Таким образом, сравнивая состав сополимеров, рассчитанный по формулам (2)–(5), можно судить о корректности идентификации соответствующих сигналов в алифатической области уг-

Химические сдвиги ЯМР ^{13}C стыковых звеньев в диадах и триадах сополимера бутадиена (Б) с изопреном (И)

| Тип диады/триады | Сигнал | Хим. сдвиг, м.д. |
|------------------|--------|------------------|
| ИИИ | S_1 | 32.30 |
| ИИБ | S_1 | 32.35 |
| БИБ | S_2 | 31.98 |
| БИИ | S_2 | 31.94 |
| ИБ | S_3 | 28.07 |
| ИББ | S_4 | 28.84 |
| ИБИ | S_4 | 27.79 |
| БББ | S_5 | 27.49 |
| ИББ | S_5 | 27.49 |
| ИИБ | S_5 | 27.45 |
| ИИ | S_6 | 26.48 |
| ИБ | S_7 | 25.94 |

леродного спектра сополимера бутадиена с изопреном.

Средняя длина блоков бутадиена $L_{Б}$ и изопрена $L_{И}$ вычисляется, исходя из соотношений [8]

$$L_{Б} = \frac{2Q_{Б}}{P_{БИ}}, \quad L_{И} = \frac{2Q_{И}}{P_{БИ}} \quad (6)$$

Важнейшей количественной характеристикой неоднородности сополимера служит коэффициент микрогетерогенности K_m , который в нашем случае определяется выражением

$$K_m = \frac{P_{БИ}}{P_{БИ} + 2P_{ББ}} + \frac{P_{БИ}}{P_{БИ} + 2P_{ИИ}} = \frac{1}{L_{Б}} + \frac{1}{L_{И}} \quad (7)$$

Для строго чередующегося сополимера величина $K_m = 2$, в то время как для наиболее разупорядоченного (статистического) $K_m = 1$, для гомополимера $K_m = 0$. Следовательно, чем меньше единицы коэффициент микрогетерогенности, тем больше вероятность обнаружить в сополимере блоки из того или иного мономера.

Строение сополимера определяли по площади сигналов в спектрах ЯМР. Поэтому важным моментом является оценка погрешности интегрирования ε сигналов в спектрах ЯМР (протонных и углеродных). Величину ε оценивали по соотношению [9]

$$\varepsilon = A \sqrt{\frac{W}{H}}, \quad (8)$$

где A — отношение сигнал/шум, W — ширина линии сигнала на полувысоте (Γ ц), H — приборное разрешение (Γ ц). Согласно расчету по формуле (8), при используемых условиях регистрации протонных и углеродных спектров сополимеров бутадиена и изопрена погрешность вычисления площади сигнала составляет не более 3–5%.

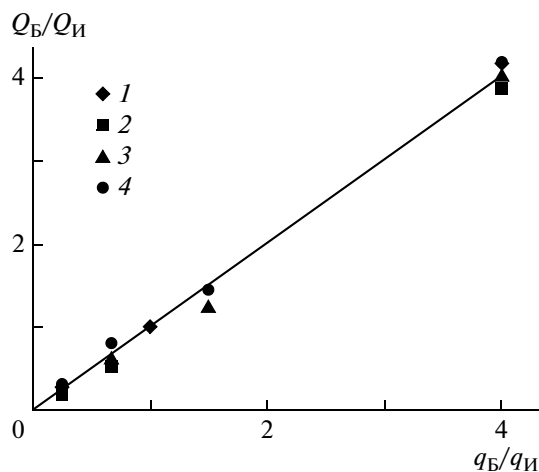


Рис. 2. Зависимость отношения содержания бутадиеновых и изопреновых звеньев в сополимере Q_B/Q_I от их содержания в исходной смеси q_B/q_I . 1, 2 – метод 1, 3, 4 – метод 2. Конверсия ≤ 10 (1, 2) и 45–50% (3, 4).

РЕЗУЛЬТАТЫ И ИХ ОБСУЖДЕНИЕ

Анализ спектров ЯМР ^1H показал, что в пределах конверсии, не превышающей 10%, состав сополимера бутадиена с изопреном идентичен составу исходной смеси мономеров (рис. 2). Гидродинамическое воздействие (метод 2) не изменяет этой закономерности, что свидетельствует об отсутствии влияния гидродинамических условий в зоне реакции на относительную активность мономеров при сополимеризации.

Расчет состава сополимера, полученного при конверсии 45–50%, по формулам (4) и (5) дает близкие значения, так что увеличение выхода сополимера не влияет на относительную активность мономеров (рис. 2). При этом предварительное гидродинамическое воздействие в турбулентных потоках также не оказывает влияния на содержание звеньев бутадиена и изопрена в сополимере.

При стандартном способе ведения полимеризации (метод 1) среднечисленная длина микроблоков бутадиена увеличивается с повышением его доли в исходной смеси мономеров (рис. 3), а среднечисленная длина микроблоков изопрена снижается. Очевидно, что это связано с повышением вероятности образования последовательности ББ и снижением вероятности образования последовательности ИИ с ростом концентрации бутадиена в начальной смеси.

Проведение сополимеризации по методу 2 способствует увеличению среднечисленной длины микроблоков изопрена при низком содержании бутадиена в исходной смеси; при повышении доли этого мономера среднечисленная длина

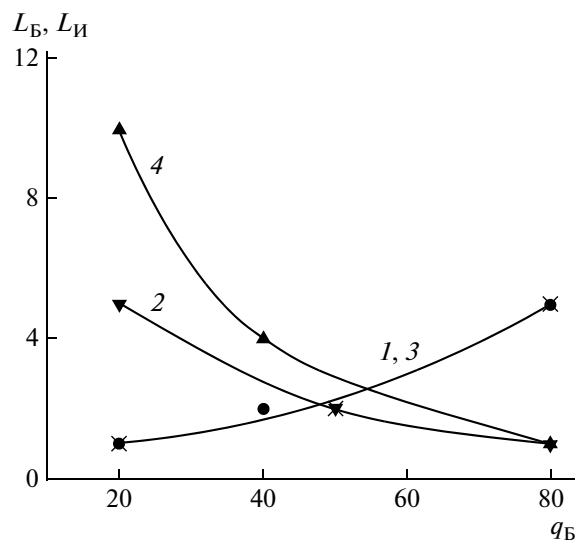


Рис. 3. Зависимость среднечисленной длины микроблоков бутадиена (1, 3) и изопрена (2, 4) от содержания бутадиена в исходной смеси. 1, 2 – метод 1, 3, 4 – метод 2. Конверсия 45–50%.

микроблоков изопрена постепенно приближается к характерным для метода 1 значениям. Длина микроблоков бутадиена практически не изменяется при варьировании гидродинамического режима в зоне реакции (рис. 3). По всей видимости, это может быть связано с перераспределением по активности центров полимеризации, которые обладают различной избирательностью к координации бутадиена и изопрена.

Сополимер бутадиена с изопреном, полученный в присутствии каталитической системы $\text{TiCl}_4\text{--Al}(i\text{-C}_4\text{H}_9)_3$, характеризуется статистическим распределением звеньев, на что указывают значения коэффициента микрогетерогенности, который при синтезе сополимера по методу 1 близок к единице (рис. 4). При этом в данном случае величина K_M не зависит от состава исходной

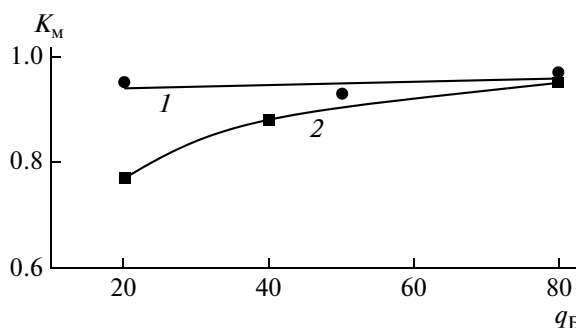


Рис. 4. Зависимость коэффициента микрогетерогенности сополимера бутадиена с изопреном от содержания бутадиена в исходной смеси. 1, 2 – методы 1 и 2 соответственно. Конверсия 45–50%.

смеси мономеров. В то же время гидродинамическое воздействие в начальный момент сополимеризации при малом содержании бутадиена в исходной смеси мономеров приводит к снижению коэффициента микрогетерогенности сополимера (рис. 4), что свидетельствует об увеличении среднечисленной длины микроблоков (в нашем случае изопрена) (рис. 3). Из рис. 4 также следует, что при проведении сополимеризации по методу 2 с ростом доли бутадиена в начальной смеси коэффициент микрогетерогенности стремится к единице.

Соответствие состава сополимера исходному составу смеси мономеров на всем протяжении сополимеризации означает, что концевое звено не влияет на вероятность присоединения другого мономера, или о том, что сополимеризация протекает в рамках статистики Бернулли [6]. Для проверки этого соответствия необходимо сравнить долю гомо- и гетеродиад, вычисленных, исходя из площади сигналов углеродного спектра, с долями гомо- и гетеродиад, рассчитанных по соотношениям бернуллиевской статистики роста:

$$P_{ББ} = q_{ББ}^2, \quad P_{ИИ} = q_{ИИ}^2, \quad P_{ИБ} = 2q_{Б}q_{И} \quad (9)$$

На рис. 5 видно, что рост цепи сополимера бутадиена и изопрена при стандартном способе формирования реакционной смеси (метод 1) подчиняется статистике Бернулли, на что указывает достаточно хорошее совпадение долей различных диад, определенных из углеродного спектра сополимера, с долями, рассчитанными по формулам (9). Доля гетеродиад максимальна при эквимольном содержании бутадиена и изопрена в исходной смеси мономеров, что соответствует росту цепи сополимера по закону случая. Это наряду с постоянством состава сополимера в методе 1 (рис. 2) свидетельствует о независимости вероятности присоединения того или иного мономера к активному центру с определенным концевым звеном.

При гидродинамическом воздействии рост цепи сополимера отклоняется от статистики Бернулли (рис. 5). Видно, что при проведении сополимеризации по методу 2 при содержании бутадиена в исходной смеси мономеров 20% образуется сополимер с повышенным содержанием гомодиад изопрена и снижается доля гетеродиад. Возможно, что гидродинамическое воздействие, изменяя дисперсность полицентрового микрогетерогенного катализатора [3], приводит к перераспределению центров сополимеризации

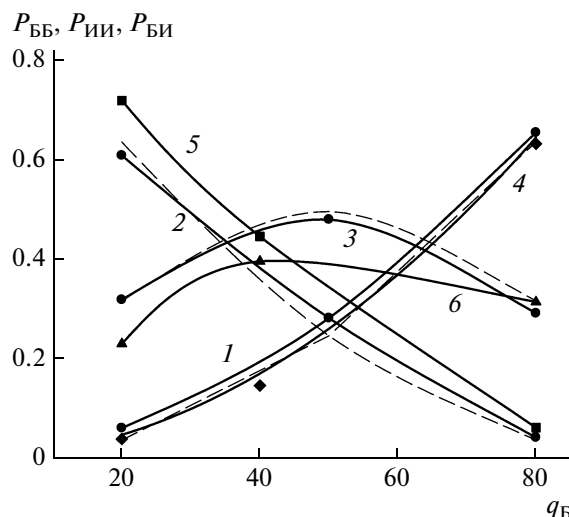


Рис. 5. Зависимость содержания гомодиад бутадиена (1, 4), изопрена (2, 5) и гетеродиад (3, 6) от содержания бутадиена в исходной смеси. 1–3 – метод 1, 4–6 – метод 2. Сплошные и штриховые линии – расчет по уравнениям (3) и (9) соответственно.

по вероятности формирования бутадиеновых и изопреновых последовательностей определенной длины.

СПИСОК ЛИТЕРАТУРЫ

1. Мягченков В.А., Френкель С.Я. Композиционная неоднородность сополимеров. Л.: Химия, 1988.
2. Monakov Yu.B., Sigaeva N.N., Urazbaev V.N. Active Sites of Polymerization. Multiplicity: Stereospecific and Kinetic Heterogeneity. Leiden: Brill Acad. Publ., 2005.
3. Захаров В.П., Берлин А.А., Монаков Ю.Б., Дебердеев Р.Я. Физико-химические основы протекания быстрых жидкофазных процессов. М.: Наука, 2008.
4. Chen H. Yu. // Anal. Chem. 1962. V. 34. № 9. P. 1134.
5. Исследование строения макромолекул методом ЯМР высокого разрешения / Под ред. С.В. Соколова. М.: ЦНИИТЭНефтехим, 1983.
6. Эскина М.В., Ловчиков В.А., Хачатуров А.С., Чурляева Л.А., Шибалева А.Н., Скуратов К.Д., Лобач М.И., Корнер В.А. // Высокомолек. соед. Б. 1986. Т. 28. № 12. С. 887.
7. Хохлов А.Р., Кучанов С.И. Лекции по физической химии полимеров. М.: Мир, 2000.
8. Васнев В.А., Кучанов С.И. // Успехи химии. 1973. Т. 42. № 12. С. 2194.
9. Лундин А.Г., Федин Э.И. ЯМР-спектроскопия. М.: Наука, 1986.